

ФОТОЭЛЕКТРИЧЕСКИЕ И ОПТИЧЕСКИЕ СВОЙСТВА  
СЕГНЕТОЭЛЕКТРИЧЕСКИХ МОНОКРИСТАЛЛОВ  $\text{Ba}_x\text{Sr}_{1-x}\text{Nb}_2\text{O}_6$  ( $x = 0,25$ )

П. В. Ионов,<sup>\*)</sup> К. А. Михайлина,<sup>\*)</sup> Д. И. Ивлева,  
Ю. С. Кузьминов, В. М. Фомкин<sup>\*\*)</sup>

УДК 548.55:573.226.33+535.2I5.4+54I.65

Экспериментально исследована зависимость спектрального распределения (СР) фотопроводимости выращенных методом Чохральского крупных, оптически однородных монокристаллов  $\text{Ba}_x\text{Sr}_{1-x}\text{Nb}_2\text{O}_6$  ( $x = 0,25$ )

от кристаллографического направления. Показано, что в полярном направлении вклад фототока экранирования сегнетоэлектрической поляризации обуславливает дополнительный длинноволновой максимум на СР фотопроводимости, отсутствующий в парапазе.

Монокристаллы сегнетоэлектрика ниобата бария-стронция  $\text{Ba}_x\text{Sr}_{1-x}\text{Nb}_2\text{O}_6$  (НБС) относятся к оптически одноосным кристаллам, принадлежащим к точечной группе симметрии  $4_{\text{mm}}$  /1/. Кристаллы имеют пространственную решетку типа тетрагональной калий-вольфрамовой бронзы, в которой ионы ниobia находятся в октаэдрической координации кислородных ионов /2/. Область существования твердых растворов простирается от  $x = 0,25$  до  $0,75$ , причем в этом интервале температура Кюри меняется от  $+50^\circ$  до  $\sim +250^\circ\text{C}$ . Диэлектрические свойства этого кристалла исследованы в работах /4,5,6/. Исследованные в данной работе кристаллы НБС состава  $x = 0,25$  имеют размытый фазовый переход при  $50^\circ\text{C}$ , спонтанная поляризация при комнатной температуре равна  $17 \text{ мккул}/\text{см}^2$  /6/.

Кристаллы НБС с успехом используются в качестве широэлектрического датчика инфракрасного излучения со временем срабатывания меньше 30 нсек /3,4/, а также обладают поперечным электрооптическим эффектом, величина которого на два порядка выше, чем у таких известных сегнетоэлектриков, как ниобат лития и tantalат

<sup>\*)</sup> Институт кристаллографии АН СССР.

лития /I/. Данное сообщение посвящено новому свойству этого перспективного материала – фоточувствительности.

Кристаллы НЕС выращиваются по методу Чохральского /7,8,9,10/. Наши кристаллы выращивались из стехиометрического расплава  $\text{Ba}_{0,25}\text{Sr}_{0,75}\text{Nb}_2\text{O}_6$ . Соединение предварительно синтезировалось в твердой фазе при температуре 1100–1200°С в течение 2–3 часов. Выращивание производилось в массивных платиновых тиглях объемом 350 см<sup>3</sup> на воздухе. Скорости вращения и вытягивания составляли 20–40 об/мин и 5 мм/час. Разогрев тигля проводился высокочастотным полем частотой  $f = 430$  кГц. Из булок диаметром около 15мм были вырезаны пластинки размером 6x3x2 мм, ориентированные плоскостью перпендикулярно оптической оси. Для электрических измерений на образцы были нанесены электроды из серебряной пасты.

Целью настоящей работы явилось изучение температурной зависимости ширины запрещенной зоны вблизи фазового перехода, фоточувствительности и ее спектрального распределения в монокристаллах НЕС.

Исследование собственного поглощения кристаллов проведено на спектрофотометре "Specord UV-VIS", в проходящем свете в области спектра от 200 до 800 нм. Измерения проводились в неполяризованном свете вдоль оптической оси кристалла. Приближенное значение ширины запрещенной зоны  $E_g$  определялось экстраполацией наиболее крутого участка края основной полосы поглощения на ось  $\lambda$ . При комнатной температуре  $E_g \sim 3,28$  эВ. Как видно из рис. I, ширина запрещенной зоны  $E_g$  линейно изменяется с температурой с коэффициентами  $\partial E_g / \partial T|_p = -(1,27 \pm 0,03)$  мэВ/град в сегнетоэлектрической фазе и  $\partial E_g / \partial T|_p = -(1,18 \pm 0,03)$  мэВ/град в параэлектрической.

Таким образом при фазовом переходе имеет место скачок температурного коэффициента ширины запрещенной зоны  $\Delta(\partial E_g / \partial T) = (0,10 \pm 0,06)$  мэВ/град (рис. I, кривая 2). Скачок самой величины запрещенной зоны  $\Delta(E_g)$ , характерный для фазовых переходов I-го рода, не обнаружен. (Если этот скачок действительно существует, то его величина не должна превышать  $\sim 3$  мэВ.) Кривая I на рис. I претерпевает излом вблизи 47°. Обнаруженная аномалия  $E_g(T)$  характерна для фазовых переходов II рода /II,I2/, а также для размытых сегнетоэлектрических переходов. Размытый фазовый переход в крис-

таллах НБС обусловлен статистическим замещением ионов бария ионами стронция /14/. Сопоставление полученных данных с данными ди-

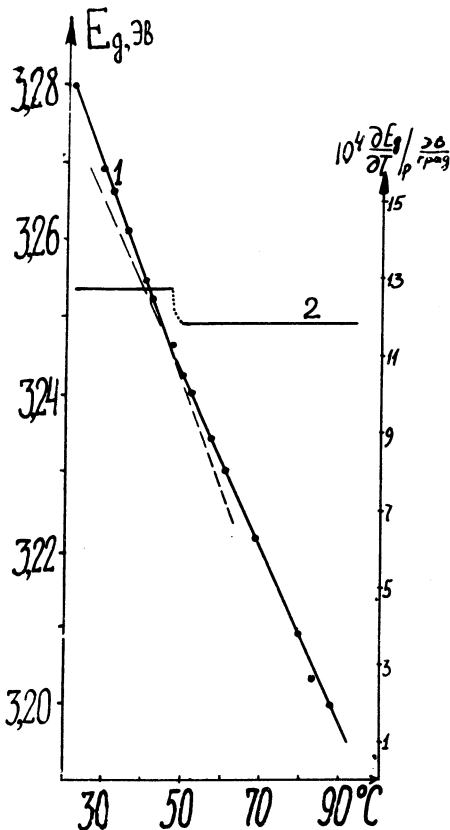
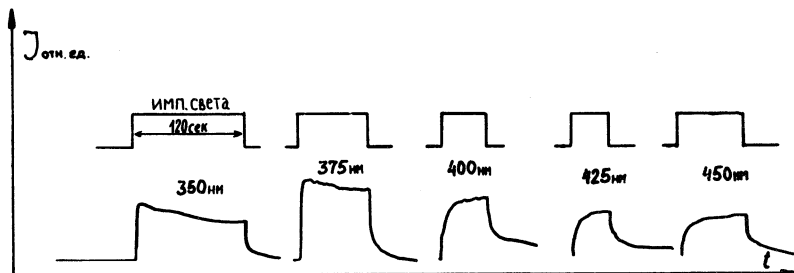


Рис. 1. Температурная зависимость (1) ширины запрещенной зоны  $E_g(T)$  и (2) температурного коэффициента  $\frac{\partial E_g}{\partial T}|_p$  монокристалла  $\text{Ba}_{0.25}\text{Sr}_{0.75}\text{Nb}_2\text{O}_6$  в направлении оптической оси

электрических измерений /6/ не позволяет окончательно судить о характере фазового перехода.

Фотопроводимость кристаллов НБС была обнаружена ранее /13/. На рис. 2 показан фронт нарастания фототока для разных длин волн

возбуждающего света. Видно, что время установления стационарного фототока возрастает при уменьшении энергии кванта падающего на кристалл света. Время нарастания сигнала измеряется секундами. Соответствующее спектральное распределение предоставлено кривой I на рис. 3. Аналогичный вид имеет спектральное распределение фотопроводимости, когда кристалл НБС находится в паразелектрической фазе ( $T > 50^{\circ}\text{C}$ ).

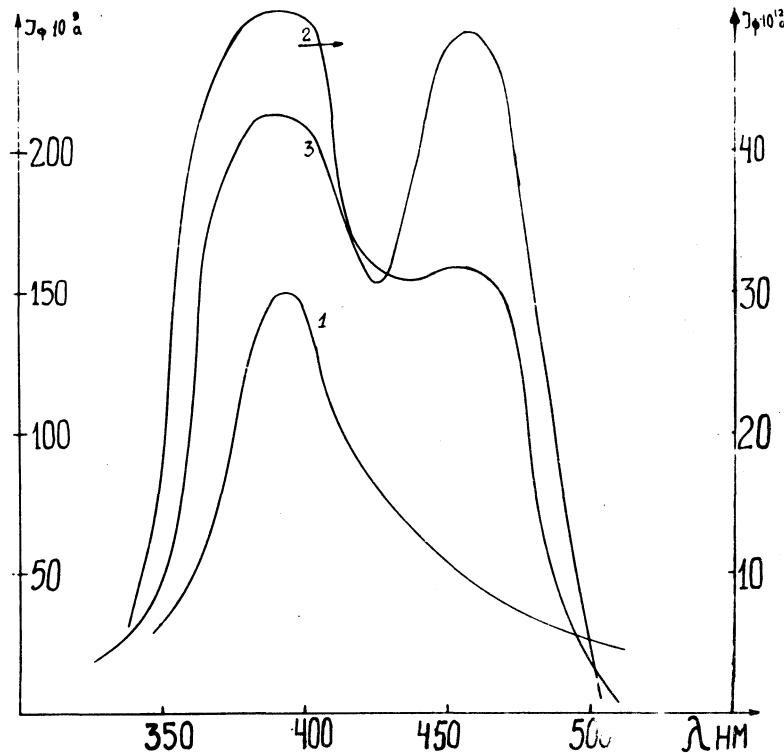


Р и с. 2. Зависимость формы фронта нарастания фототока от длины волны падающего на кристалл света

Изучение зависимости спектрального распределения фотопроводимости в полях, меньших квазиритмического, от кристаллографического направления показало, что продольная (кривая I, рис. 3) и по-перечная фотопроводимость (кривая 3) имеют спектральное распределение различного вида. Кривая (E<sub>1</sub>C, C - направление спонтанной поляризации) имеет один максимум при 390 нм, а кривая 2 (E<sub>2</sub>C) имеет два максимума при 390 нм и 455 нм.

Особенности фотоэлектрических явлений в сегнетоэлектриках обусловлены влиянием дополнительных фотовозбужденных носителей заряда на условия экранирования спонтанной индукции. Исследование роли неравновесных носителей в сегнетоэлектриках было предпринято ранее в работах по фотодоменному эффекту /16,17/, по влиянию освещения на пиротоки /18,19,20/ и форму вольтамперных характеристик /15/. Можно предполагать, что при увеличении концентрации свободных носителей вследствие освещения нарушается экранирование из-за изменения деполяризующего поля, что приводит к возникновению тока экранирования, соответствующего установлению новых условий экранирования для освещенного кристалла. Для объяснения формы

кривой 3 (рис. 3) было измерено спектральное распределение токов экранирования, возникающих при генерации fotoносителем. Образец, вырезанный перпендикулярно оси С, с контактами из серебряной пас-



Р и с. 3. Спектральное распределение собственной фотопроводимости (кривые 1 и 3, см. пояснение в тексте) и фотополаризационного тока (кривая 2, правая ордината) монокристалла  $\text{Ba}_{0,25}\text{Sr}_{0,75}\text{Nb}_2\text{O}_6$ . (Приведено к единице падающей энергии)

ты или аквадага был замкнут на входную цепь электрометра УИ-2. При этом регистрировался медленно спадающий со временем ток разрядки сегнетоэлектрического конденсатора ( $\sim 10^{-12}$  а). В процессе измерения при освещении образца регистрируемый ток увеличивал-

ся, а постоянная времени уменьшалась. Кривая 2 на рис. 3 показывает спектральное распределение тока экранирования, которое характеризуется также двумя максимумами при 390 нм и 455 нм.

Сопоставление кривых на рис. 3 позволяет сделать вывод о том, что максимум при 390 нм обусловлен собственной фотопроводимостью кристалла НБС ( $E_g \approx 3,3$  эв), что хорошо согласуется с данными наших оптических измерений (см. рис. 1). Наличие длинноволнового максимума ( $\lambda \sim 455$  нм) на кривой 3 обусловлено током экранирования, как это видно из кривой 2, дающим заметный вклад в полярном направлении и имеющим иное спектральное распределение, чем ток проводимости. Отметим, что спектральное распределение собственной фотопроводимости отличается от спектрального распределения экранированного тока и в монокристаллах  $\text{LiNbO}_3$  /13/. Из работы /21/ (см. рис. 6) следует, что спектральное распределение экранировочного тока в  $\text{LiNbO}_3$  сильно зависит от кристаллографического направления, хотя ее авторы дают другое толкование полученных ими результатов.

В кристаллических фотоалектретах максимум спектрального распределения фотоалектретного состояния не совпадает с максимумом собственной фотопроводимости и сдвинут в длинноволновую сторону /22/. Аналогичная картина наблюдается в сегнетоакустических фотопроводниках, в частности в НБС, т.е. изменение при освещении деполяризующего поля, созданного объемным зарядом, локализованным на глубоком уровне  $E_t < E_g$ , обусловлено опустошением этого уровня фотонами с энергией 2,7 эв.

В заключение заметим, что монокристалл НБС может применяться в качестве среды, запоминающей оптическую информацию /23/. При этом, как показано в /13/ для  $\text{LiNbO}_3$ , полоса фоточувствительности с  $\lambda_{\max} = 455$  нм является "записывающей", а полоса  $\lambda_{\max} = 390$  нм - "стирющей". Однако, в  $\text{LiNbO}_3$  аналогичные полосы фоточувствительности отстоят друг от друга на  $\sim 100$  нм, что позволяет достигать на  $\text{LiNbO}_3$  дифракционной эффективности  $> 40\%$ , в то время как для НБС из-за сильного перекрытия этих полос, несмотря на его высокую фоточувствительность, дифракционная эффективность по данным /23/ не более 2%.

Поступила в редакцию  
27 июля 1973 г.

## Л и т е р а т у р а

1. P. V. Lenz, S. G. Spencer, A. A. Ballman. *Appl. Phys. Letts.*, 11, 23 (1967).
2. A. A. Ballman, H. Brown. *J. Crystal. Growth*, 1, 311 (1967).
3. A. M. Glass. *Appl. Phys. Letts.*, 13, 147 (1968).
4. A. M. Glass. *J. Appl. Phys.*, 40, 4699 (1969).
5. T. S. Chang, E. Amzallag, M. Rokni. *Ferroelectrics*, 2, 57 (1971).
6. В. В. Воронов, С. М. Десяткова, Л. И. Ильева, Д. С. Кузьминов, Л. Г. Лапунова, В. В. Осинко. Физика твердого тела (в печати, 1973 г.).
7. Д. С. Кузьминов, Э. М. Новикова, К. И. Туркина, Л. Г. Лапунова. Изд. АН ССР, сер. неорганические материалы, 5, 1982 (1969).
8. J. C. Brice, C. F. Hull, P. A. G. Whiffin, J. A. Wilkinson. *J. Crystal Growth*, 10, 133 (1971).
9. J. R. Carruthers, M. Grasso. *J. Electrochem. Soc.*, 117, 1426 (1970).
10. М. Ф. Дубовик, Е. А. Драгайцева, В. П. Мартынов, Т. С. Тиминская. Монокристаллы и техника, вып. 6, 130, Харьков, 1972 г.
11. В. М. Фридкин. Иисмы в ИЭТГ, 2, 252 (1966).
12. К. А. Верковская. Канд. диссерт., ИКАН, 1968 г.
13. П. В. Ионов. ФТТ, 15, 2827 (1973).
14. В. З. Бражнич, Б. М. Родов, Тезисы II Всесоюзного семинара по полупроводниковым свойствам сегнетоэлектриков, стр. 35, Ростов, 1972 г.
15. V. M. Fridkin, V. N. Nosov, I. I. Groshik. *Appl. Phys. Letts.*, 10, 354 (1967).
16. V. M. Fridkin. *Ferroelectrics*, 2, 119 (1971).
17. В. Н. Бандер, В. М. Фридкин. ФТТ, 13, 614 (1971).
18. А. Х. Зейналли. ФТТ, 14, 254 (1972); 14, 921 (1972).
19. И. И. Громник, П. В. Ионов, В. М. Фридкин. ФТТ, 2, 1630 (1968).
20. Р. Бьюб. Фотопроводимость твердых тел. М., 1962 г.
21. W. Bollman, M. Gerhard. *Phys. stat. sol(a)*, 2, 301 (1972).
22. В. М. Фридкин. Физические основы фотографического процесса. Изд. "Энергия", 1966 г.
23. J. B. Thaxter. *Appl. Phys. Letts.*, 15, 210 (1969).